



FONDS EUROPEEN DE DEVELOPPEMENT



SERVICE
DE LA PERLICULTURE



Institut de Recherche
pour le Développement

9e FED-POF/001/002 Contrat de subvention N°1

Étude de l'hydroclimat (priorité 1)
et des sources de nourritures (priorité 2) de l'huître perlière *Pinctada margaritifera*

Annexes au

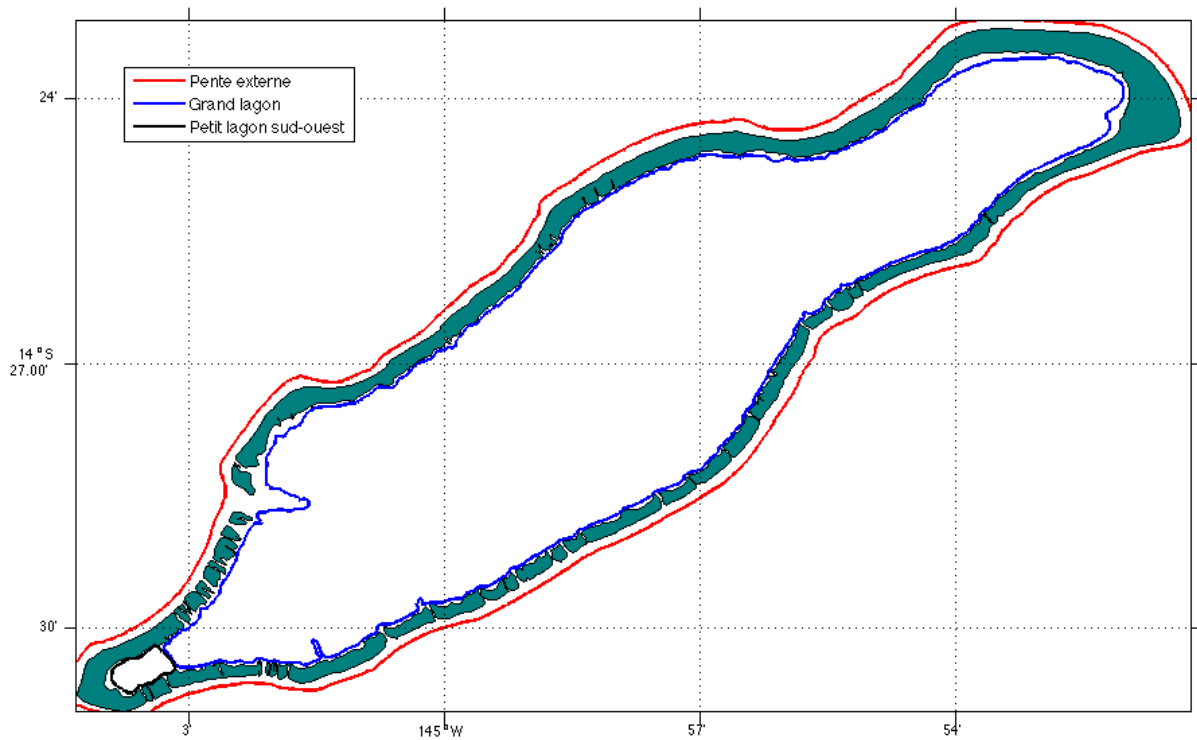
**RAPPORT DE MESURES
SUR L'ATOLL DE TAKAROA**

**CARACTERISATION DU FONCTIONNEMENT
HYDRODYNAMIQUE DE L'ATOLL**

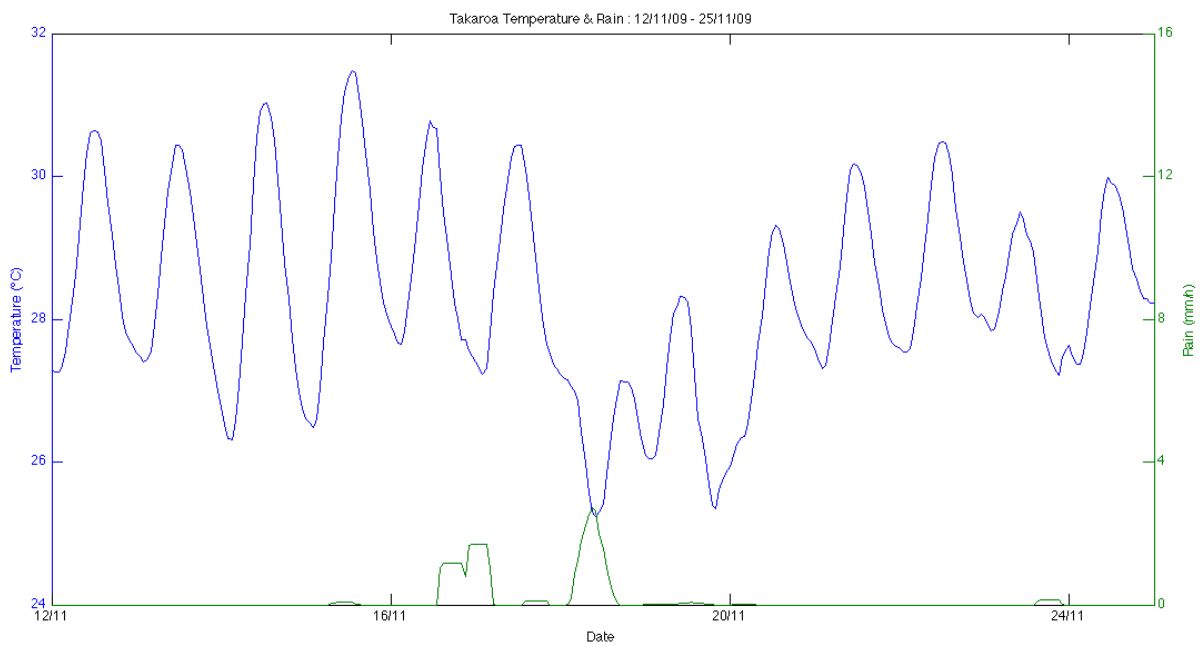
**Romain Le Gendre
Serge Andréfouët
Franck Dumas**

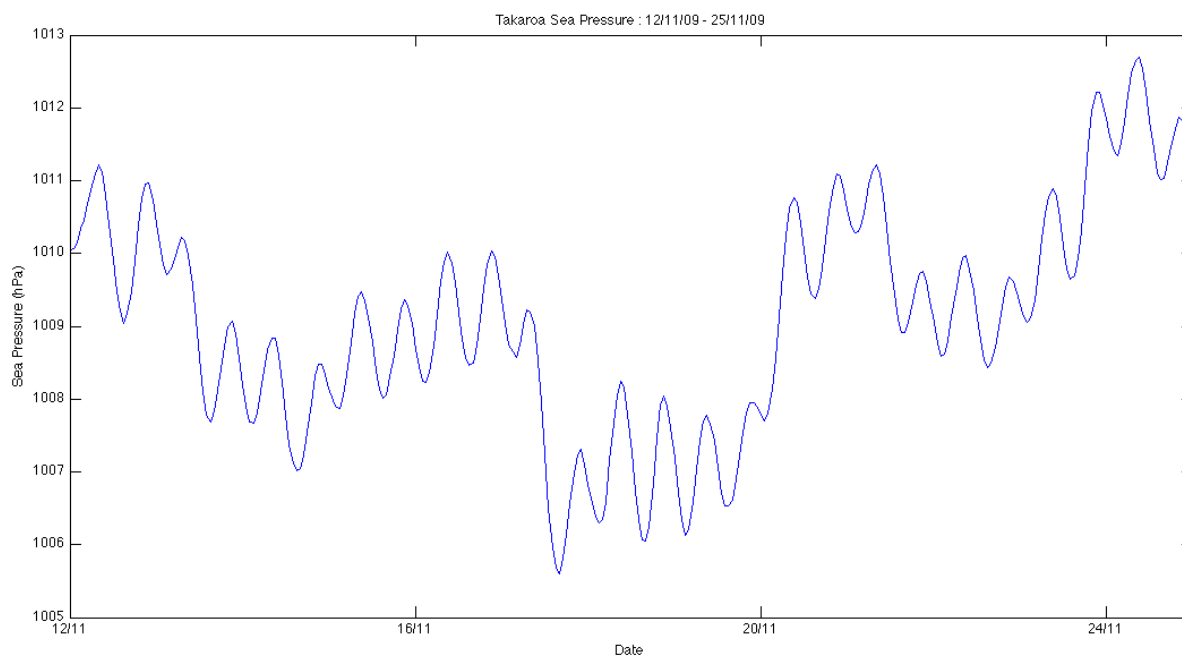
Annexe 1 : Contours utilisés pour le calcul des dimensions physiques.....	3
Annexe 2 : Température, précipitations et pression.....	3
Annexe 3 : Récapitulatif des points de mesure Takaroa	4
Annexe 4 : Analyse harmonique des données de niveaux	5
Annexe 5 : Réseaux hydrologiques	8

Annexe 1 : Contours utilisés pour le calcul des dimensions physiques



Annexe 2 : Température, précipitations et pression



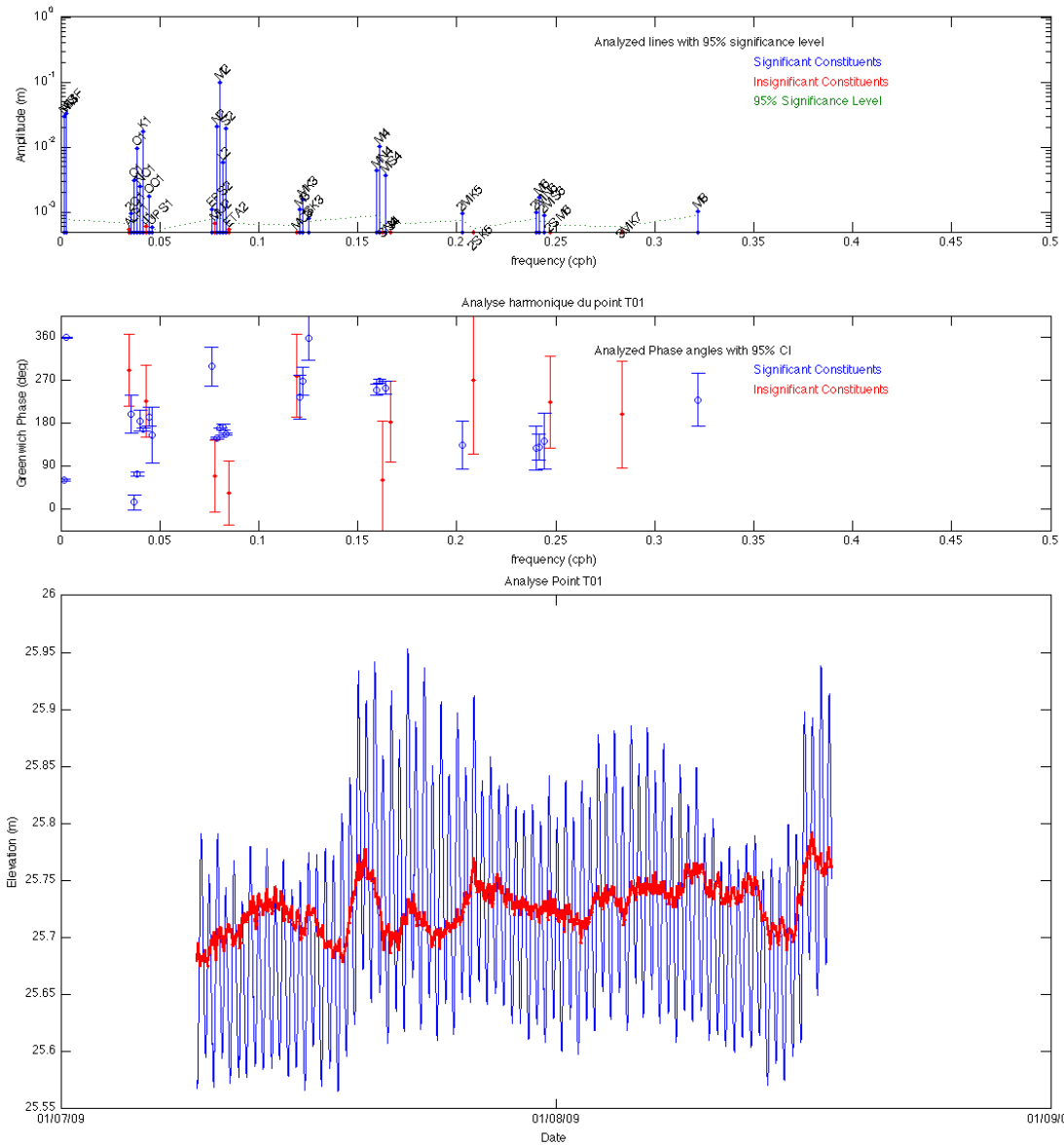


Annexe 3 : Récapitulatif des points de mesure Takaroa

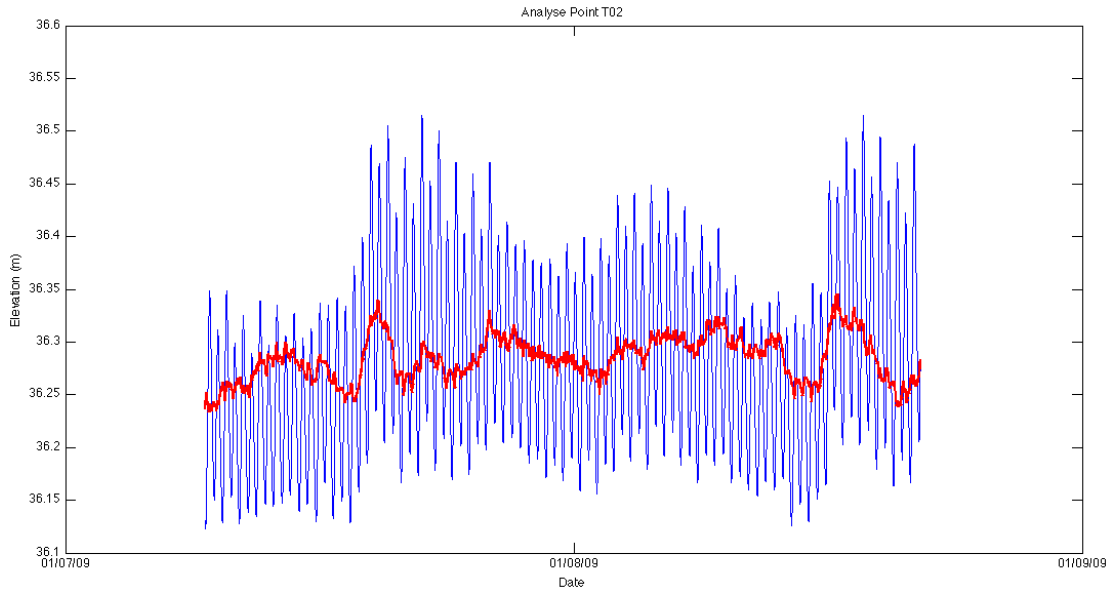
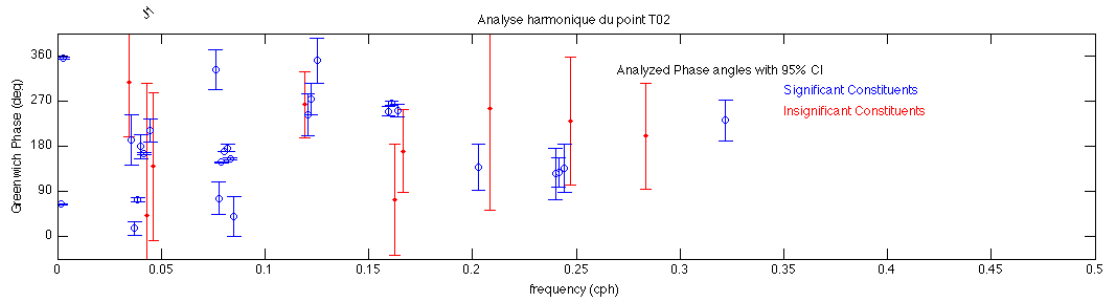
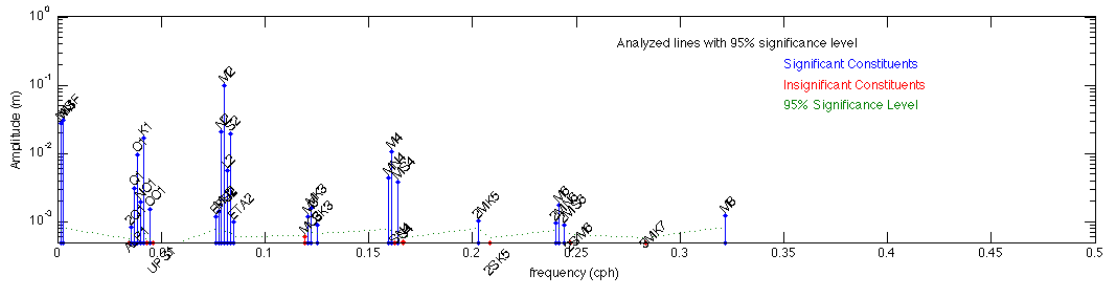
Station	Latitude (S)	Longitude (W)	Instrument	Mesure	Profondeur (m)	Début	Fin	Infos
T01	-14.499980	-145.039010	TGR-1050	Pression	25.5	09/07/09	18/08/09	Sampling : 10s
T02	-14.449870	-144.959620	TGR-1050	Pression	36.1	09/07/09	22/08/09	Sampling : 10s
T03	-14.401200	-144.884350	DR-1050	Pression	19.3	09/07/09	20/11/09	Sampling : 10s
T04	-14.481626	-145.038656	Aanderaa RCM7	Courant hoa	0.5	12/11/09	22/11/09	Sampling : 10 min
T05	-14.479894	-145.044160	DR-1050	Pression	8	12/11/09	15/11/09	Sampling : 1s
T06	-14.512998	-145.051931	TWR-2050	Pression	7	12/11/09	21/11/09	Sampling : 1h
T07	-14.442230	-144.930480	Aanderaa RCM7	Courant hoa	0.5	12/11/09	22/11/09	Sampling : 10 min
T08	-14.475050	-145.039860	Sentinel	Courant	18.5	12/11/09	16/11/09	Sampling : 20 min
T09	-14.474913	-145.037496	Channelmaster	Courant	4 m	11/11/09	15/11/09	Cellules de 2m

Station	Latitude (S)	Longitude (W)	Station	Latitude (S)	Longitude (W)
T10	-14.397667	-144.883350	T17	-14.446200	-144.989333
T11	-14.417167	-144.897983	T18	-14.484983	-144.997783
T12	-14.418717	-144.918817	T19	-14.465933	-145.025483
T13	-14.427367	-144.934850	T20	-14.473683	-145.047000
T14	-14.424033	-144.964600	T21	-14.496500	-145.035100
T15	-14.447967	-144.944683	T22	-14.508700	-145.059583
T16	-14.468133	-144.964367			

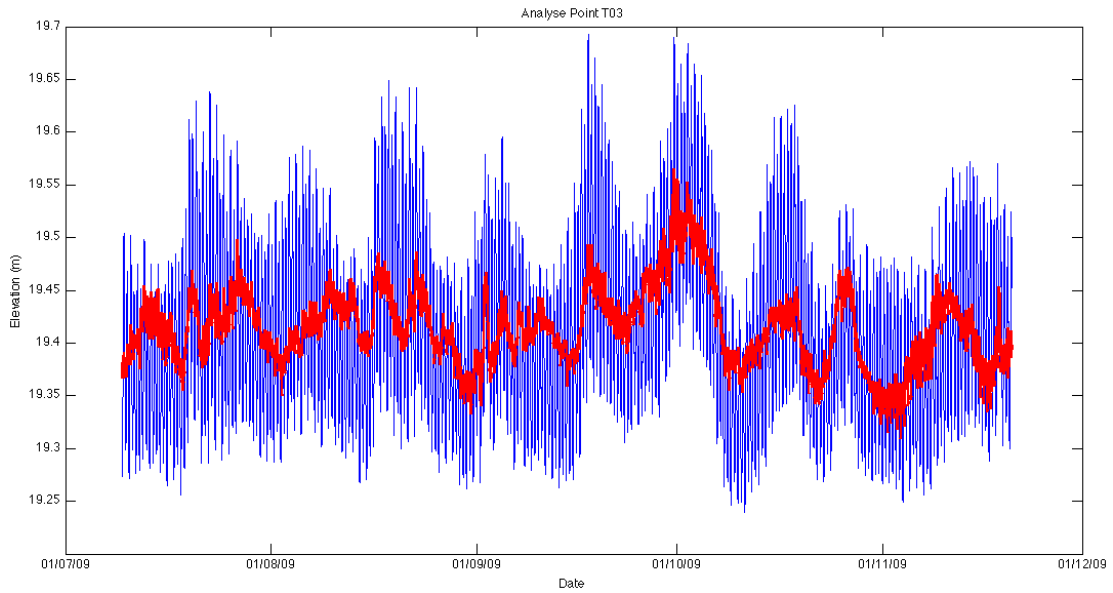
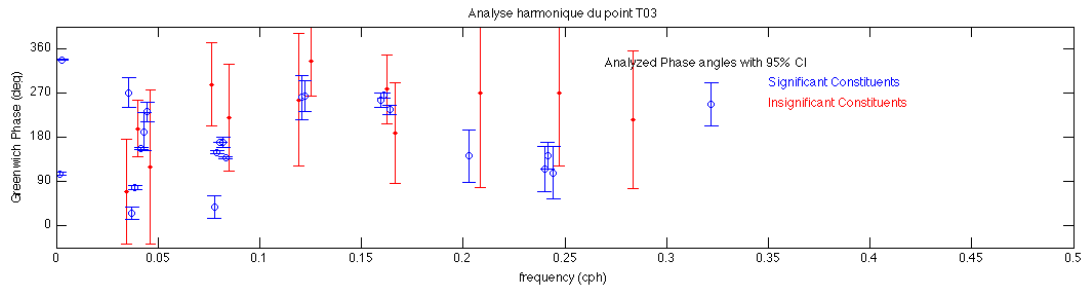
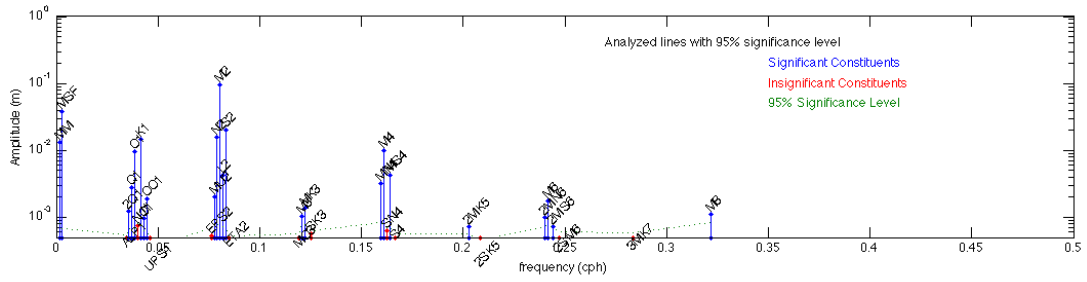
Annexe 4 : Analyse harmonique des données de niveaux



Onde	Amplitude (m)	Phase (°)	Onde	Amplitude (m)	Phase (°)
MM	0.029855	60.699388	MO3	0.000493	279.054885
MSF	0.033516	359.368225	M3	0.001106	233.995328
ALP1	0.000554	290.206976	MK3	0.001590	268.192700
2Q1	0.000962	199.028943	SK3	0.000806	358.766106
Q1	0.003048	14.041379	MN4	0.004374	249.387780
O1	0.009702	74.098911	M4	0.010348	267.168184
NO1	0.002464	184.693892	SN4	0.000376	61.532019
K1	0.017584	166.464695	MS4	0.003680	253.644698
J1	0.000613	225.826356	S4	0.000477	182.741847
OO1	0.001734	193.527314	2MK5	0.000968	133.150258
UPS1	0.000580	154.800403	2SK5	0.000242	269.178204
EPS2	0.001093	298.661661	2MN6	0.001013	127.620572
MU2	0.000673	68.118824	M6	0.001690	130.172995
N2	0.020747	149.371232	2MS6	0.000906	141.846470
M2	0.099915	169.756469	2SM6	0.000457	223.895227
L2	0.005776	171.530697	3MK7	0.000374	198.091935
S2	0.019281	156.753491	M8	0.001031	228.534815
ETA2	0.000541	33.194492			



Onde	Amplitude (m)	Phase (°)	Onde	Amplitude (m)	Phase (°)
MM	0.028019	63.933158	MO3	0.000603	262.825406
MSF	0.031028	355.894269	M3	0.001193	243.747733
ALP1	0.000337	306.972994	MK3	0.001585	273.617883
2Q1	0.000826	192.811324	SK3	0.000902	350.844229
Q1	0.003035	16.044912	MN4	0.004472	249.579050
O1	0.009523	73.756651	M4	0.010584	266.417533
NO1	0.001963	179.414610	SN4	0.000434	73.546743
K1	0.017080	165.416394	MS4	0.003760	251.480037
J1	0.000038	41.643822	S4	0.000517	170.524670
OO1	0.001529	211.714656	2MK5	0.001044	138.603882
UPS1	0.000156	139.989372	2SK5	0.000150	255.611825
EPS2	0.001201	333.387029	2MN6	0.000977	124.664468
MU2	0.001416	75.547546	M6	0.001743	127.856410
N2	0.020602	147.688780	2MS6	0.000909	136.373585
M2	0.100381	169.416362	2SM6	0.000345	230.734853
L2	0.005642	176.208311	3MK7	0.000379	200.036574
S2	0.019415	155.630963	M8	0.001226	231.380680
ETA2	0.000986	39.775560			



Onde	Amplitude (m)	Phase (°)	Onde	Amplitude (m)	Phase (°)
MM	0.013074	105.062277	M3	0.001038	260.762584
MSF	0.037541	337.915265	MK3	0.001378	263.664825
ALP1	0.000331	69.000100	SK3	0.000561	335.369936
Q1	0.001248	270.784262	MN4	0.003175	254.920426
Q2	0.002816	25.193176	M4	0.009975	264.992475
Q3	0.009453	76.596552	SN4	0.000635	277.817823
NO1	0.000751	197.110645	MS4	0.004318	235.494960
K1	0.014771	157.229455	S4	0.000427	188.040680
J1	0.000967	191.121094	2MK5	0.000736	141.870223
OO1	0.001861	231.896161	2SK5	0.000170	270.495976
UPS1	0.000144	118.876325	2MN6	0.000992	115.885034
EPS2	0.000518	287.148108	M6	0.001739	143.325221
MU2	0.002034	38.126140	2MS6	0.000725	107.789652
N2	0.015601	149.435977	2SM6	0.000278	270.158422
M2	0.096556	169.442435	3MK7	0.000300	216.228381
L2	0.004177	169.225018	M8	0.001097	246.436469
S2	0.020049	138.464161			
ETA2	0.000329	220.454117			
MO3	0.000317	256.374368			

Annexe 5 : Réseaux hydrologiques

